

Fig. 4. Relation between top pressure and dust in dust catcher, calculated gas velocity, blast volume, blast pressure and blast press./blast vol.

になるように送風量を増加したが、結果的には、わずかに上昇傾向を示した。風圧の上昇もほぼ予想したとおりであり、風圧/風量は炉頂圧力の上昇とともに若干上昇傾向を示したが、だいたい $0.8 \sim 0.9$ 程度となつた。

5. 今後の問題点

以上炉況面を中心に第2高炉の高圧操業について記述したが、高圧操業設備の面では、すでに小ベルおよび排圧弁に摩耗現象がみられ、排圧弁はすでに炉頂圧 $0.6 \text{ kg}/\text{cm}^2$ の時点を取り替えている。今後さらに炉頂圧力を上昇せしめる場合、これらベルおよび排圧弁などの摩耗の進行によつては既設のガスコンプレッサー2台では均圧を十分維持できないことも考えられ、今後に残された大きな問題である。

6. 結 言

千葉第2高炉は昭和39年11月より炉頂圧力 $0.4 \text{ kg}/\text{cm}^2$ で高圧操業に入り一時炉況不安定期があつたが、昭和40年1月には炉況も回復し、徐々に炉頂圧力を上昇せしめ、昭和40年4月より炉頂圧力 $0.7 \text{ kg}/\text{cm}^2$ の操業を実施した。その結果出銘量は順調に伸び、本年1月から4月のデータを調査した結果、炉頂圧力 $0.1 \text{ kg}/\text{cm}^2$ の増加により出銘量は $5 \sim 9\%$ の増加となり、一方コークス比は約 $4 \text{ kg}/\text{t}$ の減少を示した。これらについては rating up などの影響が考えられさらに検討を要する。このほか炉頂圧力の増加により炉内ガス利用率の上昇、およびガス灰の発生量の低下が認められた。また風圧/風量は 0.8 ないし 0.9 程度であり炉頂圧力の増加とともにやや上昇の傾向を示した。

今後は炉頂大小ベルおよび排圧弁などの磨耗状況と、これに伴う均圧状況などを看視しながら、さらに炉頂圧力を上昇せしめ、よりいつそうの能率向上を期している。

(8) 戸畠第3高炉における酸素富化操業について

八幡製鐵、戸畠製造所

研野雄二・浅井浩実
阿部幸弘・○花房章次

Operation with Oxygen Enriched Blast at Tobata No. 3 Blast Furnace.

Yūji TOGINO, Hiromi ASAI,
Yukihiko ABE and Akitsugu HANABUSA.

1. 緒 言

戸畠第3高炉(内容積 1947 m^3)は昭和37年3月火入れ以来順調な操業を続け、送風量が送風機能の限界 $3150 \text{ m}^3/\text{min}$ に近づいたため、昭和39年3月より酸素富化操業を開始した。その後、安定した炉況を維持しつつ増風を行ない、昭和40年2月には、日産平均として 3595 t の高い生産性を示すにいたつた酸素富化は常用 $2500 \text{ m}^3/\text{hr}$ (富化率約 1%) であるが、昭和40年4月には、所内の余剰酸素の有効利用として $6000 \text{ m}^3/\text{hr}$ (約 2.5%) まで富化をおこない、約1週間にわたり試験をし平均出銘量 3842 t に達し、また2日間にわたり 4000 t の壁を破る記録を達成した。ここに操業結果と若干の検討を報告する。

2. 操業結果

火入れ以来の操業推移を Fig. 1 に示す。

2.1 出銘量

出銘量におよぼす影響については、増風過程で富化を開始したため、定量的にその関係を求めることはできないが、Fig. 2 に換算風量に対する送風圧ならびに棚、スリップ回数を示す。これより現送風機能より定まる最高送風量を夏期および冬期について斜線で示せば、それ以上の送風 ($0 \sim 300 \text{ m}^3/\text{min}$ 相当分) については一応酸素富化による増出銘と考えることができる。また Fig. 3 には全国高炉(S39年10月あるいは11月の実績)の炉床面積と燃料消費量の関係を示しているが、戸畠第3高炉の実績は酸素 1% 富化時の実績および酸素 2.5% 富化時の約1週間の実績である。

2.2 コークス比

最近報告されている各社の報告では、酸素富化時コークス比の若干の低下を示しているものが多い。Fig. 4 には重油比に対する補正コークス比を示しており、酸素富化時を層別して示しているが、酸素富化開始当時若干のコークス比低下が見られたが、操業速度上昇と共にその差は認められなくなっている。もちろん重油吹込時の代替率の上昇も認められることになるが、酸素富化時の重油の燃焼性改良については、はつきりとはいえないが、他の改良点ともあわせて流量増加にふみ切ることができ

Table 1. Correction coefficient of coke rate.

Variable		Correction Coefficient (kg)
Ash in coke	+ 1 %	+ 10
Sinter rate	+ 1 %	- 0.6
Blast temperature	+ 10°C	- 1.6
Blast humidity	+ 1 g	+ 0.6

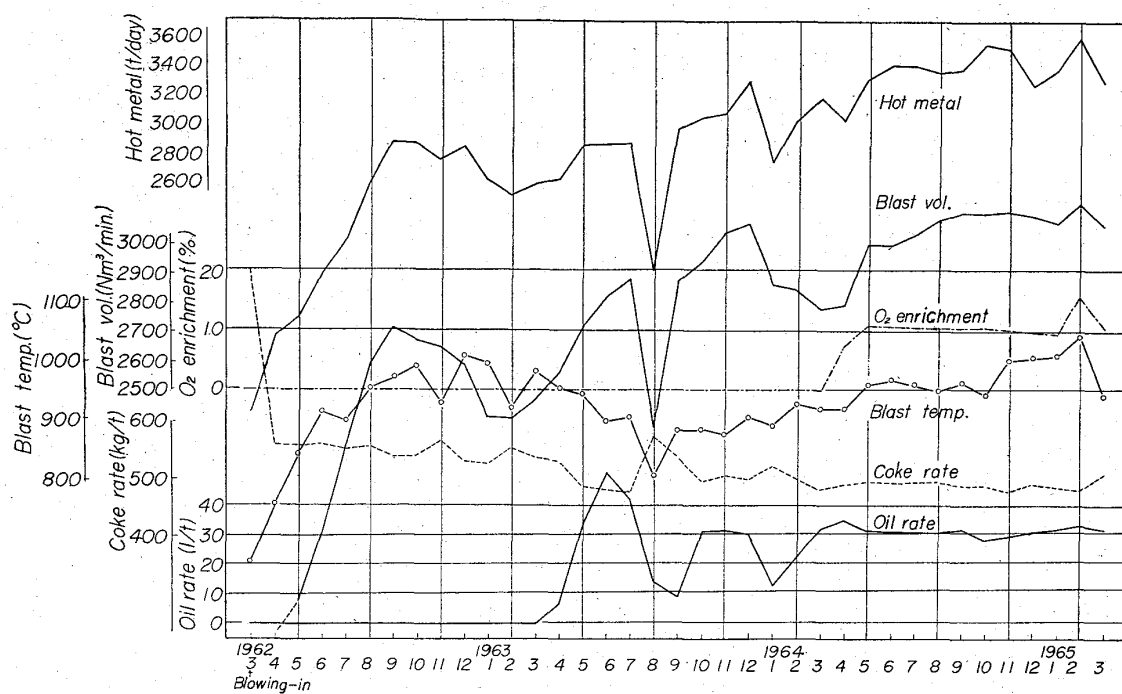


Fig. 1. Operating data since blowing-in.

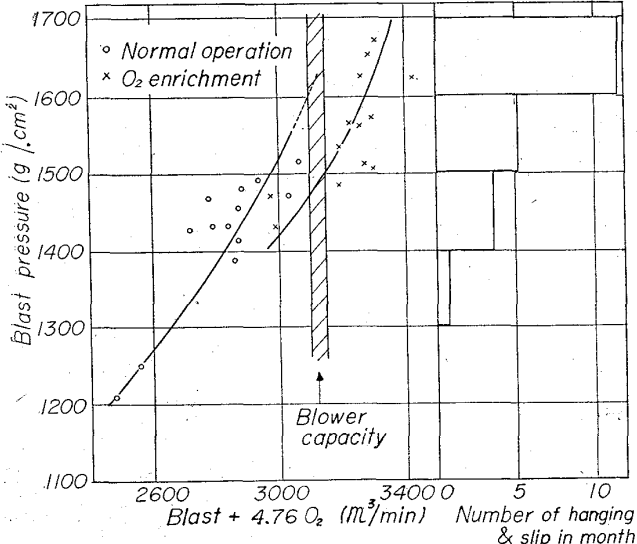


Fig. 2. Relation between corrected blast volume and blast pressure.

た。すなわち羽口1本当り従来 260 l/hr を標準にしていたものを、290 l hr に増加させた。

2.3 熱精算

Table 2 富化前後の熱精算を示す。

これより酸素富化時特にめだつのは、炉頂ガス温度の低下であり炉頂ガス顯熱の低下である。これは送風顯熱が送風温度上昇にもかかわらず低下していることでも理解できるように、銑鉄 tあたりの風量の減少によるガス量の低下が考えられる。また従来と異なる点は酸素富化時特に送風温度の上昇を考えなかつたので送風中水分分解熱はむしろ若干低下気味である。ソリューションロスは酸素富化時増加しているが、これが酸素富化時の特徴となつているかどうかはさらに検討したい。炉頂ガス成

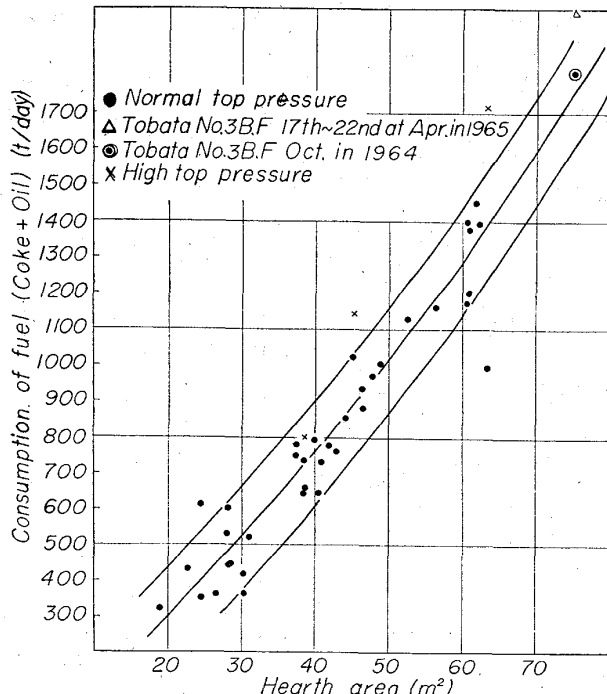


Fig. 3. Relation between consumption of fuel and hearth area in Japan B. F.

分は富化しない時より 1% 富化時の方が CO% で約 0.9% 増加し、約 27kcal/m³ の発熱量上昇となつてお り、熱風炉燃料ガスの発熱量低下を補なつてお り、またガス利用率は昭和39年10月以降行なわれた整粒強化(8~40mm より 8~30mm) 後利用率の上昇が見られるが、酸素富化前後の差ははつきりしない。

3. 最近の酸素富化操業の考え方

3.1 余剰酸素の利用について

Table 2. Heat balance.

Oxygen enrichment	Without enrichment	1% enrich	1% enrich	2.5% en.			
Period	1964 Jan.	Feb.	Aug.	Sep.	1965 Jan.	Feb.	Apr. 17~22
Item							
Combustion heat C→CO	755.0	722.3	715.6	707.6	707.1	702.8	708.1
Reduction heat of Ore by CO	41.5	40.9	42.5	43.4	43.7	44.7	44.7
Sensible heat of moisture	19.1	20.1	18.8	15.9	17.6	19.1	16.3
Sensible heat of blast	393.8	392.5	373.7	375.4	396.3	391.9	365.3
Total In-Put	1209.4	1175.8	1150.6	1142.3	1164.7	1158.5	1134.4
Reduction heat of Si, Mn, P	52.2	47.4	49.6	46.7	46.4	46.8	39.2
Sensible heat of moisture in top gas	28.1	24.3	22.4	28.2	27.4	31.3	29.0
Sensible heat of top gas	131.3	130.2	111.1	108.3	107.7	91.9	79.8
Decomposition heat of lime stone	25.8	23.0	24.2	24.2	28.7	29.1	33.6
Solution loss heat	260.0	263.8	284.2	289.8	292.6	285.1	308.6
Sensible heat of hot metal and slag	439.5	430.1	445.8	429.6	437.7	430.5	439.5
Decomposition heat of moisture	68.1	68.6	62.5	52.1	54.6	57.4	66.7
Decomposition heat of H. Oil	6.5	11.0	15.5	15.5	15.0	15.5	14.5
Emission loss heat	197.9	177.7	135.3	147.9	154.6	170.9	123.5
Total Out-Put	1209.4	1175.8	1150.6	1142.3	1164.7	1158.5	1134.4
Coke rate kg/t	519	496	493	485	483	478	488
H. Oil rate l/t	13.0	22.0	31.0	31	30.0	33.9	29.0
Moisture g/m ³	31.4	33.0	30.8	27.4	28.5	31.2	32.6
Top gas temperature °C	203	209	185	183	180	158	139
Top gas CO ₂ %	18.0	18.4	19.5	19.4	19.5	19.9	21.0
" CO %	23.7	23.5	24.2	24.2	24.1	24.5	24.6
" H ₂ %	2.7	3.0	3.1	3.0	3.2	3.3	3.7
Utilization rate of CO %	42.1	43.0	43.4	43.7	43.6	43.9	45.0

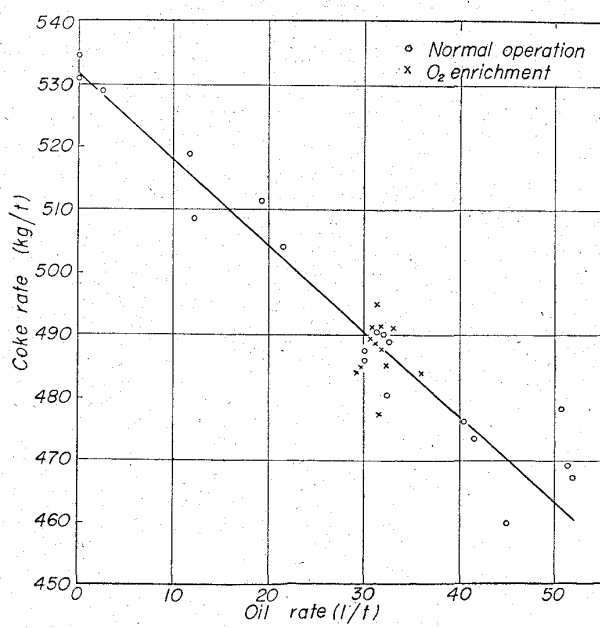


Fig. 4. Relation between oil rate and coke rate.

現在戸畠第2転炉は1/2基稼動時と2/2基稼動時があり、このため1/2基時には余剰の酸素が発生する。しかしこの稼働スケジュールは1サイクルが4~7日となつておらず、約3500m³/hrの酸素量が増減する。当初こうした一定しない使用については問題ありとしている。

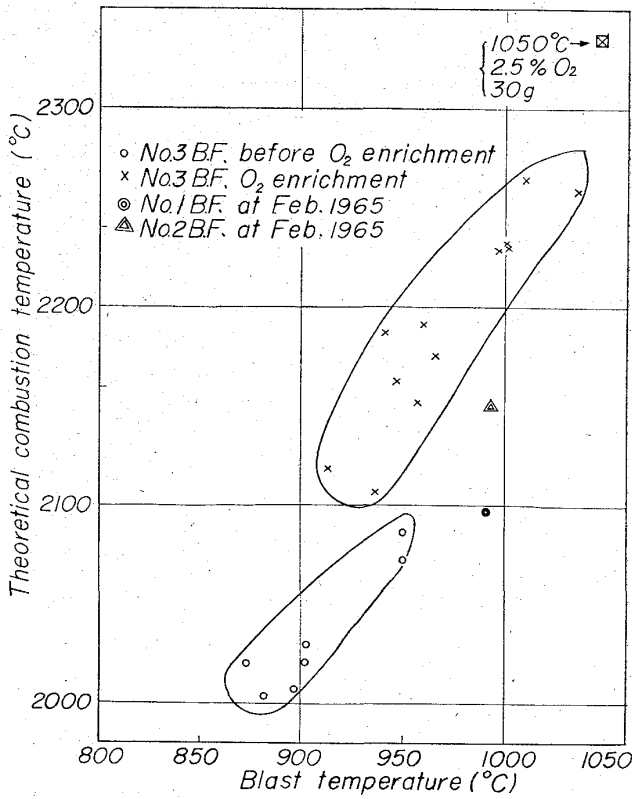


Fig. 5. Relation between blast temperature and theoretical combustion temperature. (Oil 30 l/t)

Table 3. Two cases of converter operation.

Converter	1/2 Operation	2/2 Operation
Schedule	4~6 days	5~7 days
O ₂ blowing m ³ /hr	6000	2500
Blast volume m ³ /min	3050	3150
Blast temp. & humidity	No. actions	

たが、現在は Table 3 にその時の操業の考え方を示しているが、一応ボッシュガス一定とした操業としている。

3・2 理論燃焼温度について

酸素富化時の炉況調整として主として羽口前理論燃焼温度の管理を中心に行なつておる、Ramm の式より求めて風温、風湿によってアクションをとるのが普通とされていた。しかし Fig. 5 に酸素富化前後の理論燃焼温度を送風温度に対する値として示しているが、最近は送風温度を 1050°C に上昇させ送風湿度 30g/m³、酸素富化 2.5%とした非常に高い理論燃焼温度で操業している。また現段階では酸素富化時特に理論燃焼温度一定という操業を行なつていない。

4. 結 言

戸畠第 3 高炉では、1% 富化をベースとし、所内で発生する余剰酸素を有効利用し、安定した炉況を保つて、高い生産性を示している。出銘量、コークス比に関しては、操業条件の変化により十分確かめ得なかつた。羽口前の燃焼温度は補償を行なつていない。

(9) 高炉への各種燃料吹込みの検討

富士製鉄、釜石製鉄所

理博 青木猪三雄・○沢村 慎
太田 奨・塩谷 靖・泉 積純

Study on the Fuel Injection into the Blast Furnace.

Isao AOKI, Jun SAWAMURA,
Susumu OTA, Yasushi SHIONOYA
and Sekijun IZUMI.

1. 緒 言

高炉における複合送風については、従来から、理論、実際操業の両面から検討されてきているが、十分な結果が得られていない。釜石製鉄所でも、近時、酸素バランス、コークス、ガスバランスの面から高炉の複合送風を再検討する段階となつたので、高炉への各種燃料の吹込み、酸素富化の問題について、改めて、高炉々内反応理論の面からその計算方法を確立し、従来の実績値と比較検討を行ない、さらにこれらの結果から将来の高温送風、酸素富化に備えて、いかなる面に検討をすすめるべきであるかを考察した。

2. 吹込み操業の理論

従来、種々の燃料吹込み操業の検討にあたつては case by case に行なつておいたが、総合的に複合計算を行なう場合には、別な計算方法を組立てる必要があるので次のような方法をとることにした。

(1) 高炉反応を 2 つの zone に分ける。

高炉炉内反応を羽口先における燃焼と Bosh 上部での

Table 1. Symbols.

Kinds of fuel	Injected volume kg or Nm ³ /t-pig	Required Blast Nm ³ /unit	Bosh gas volume Nm ³ /unit				Flame temp. °C	Heat supply of fuel kcal/unit
			CO	H ₂	N ₂	Total volume		
Coke burnt at tuyere	a ₁	b ₁	c ₁	d ₁	e ₁	f ₁	T ₁	q ₁
Oil kg	a ₂	b ₂	c ₂	d ₂	e ₂	f ₂	T ₂	q ₂
COG Nm ³	a ₃	b ₃	c ₃	d ₃	e ₃	f ₃	T ₃	q ₃
Steam kg	a ₄	b ₄	c ₄	d ₄	e ₄	f ₄	T ₄	q ₄
Symbols	Content						Unit	
(S. l) (O ₂) t (C.R.)F η_{CO} η_{H_2} (O _{H_2}) (O _{CO}) (Os. l) ΔCO ΔCO_2 ΔH_2	Carbon consumed by solution loss Oxygen in Blast Blast temperature Coke ratio for foundry iron Degree of utilization of CO gas " " of H ₂ gas Oxygen volume in ore reduced by H ₂ gas " " by H ₂ gas " " by solution loss Increase volume of CO gas at bosh shaft CO ₂ H						kg / t-pig % °C kg / t-pig fraction " kg / t-pig " " Nm ³ /t-pig " "	